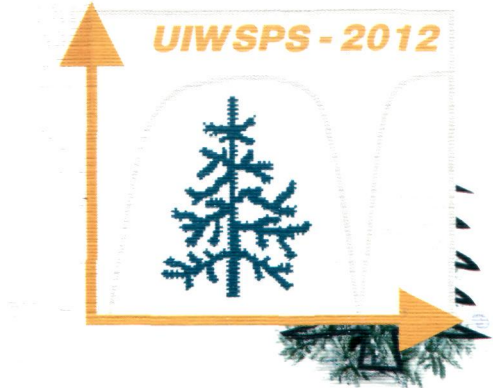


# ПРОГРАММ И ТЕЗИСЫ ДОКУ



## XIX Уральская международная зимняя школа по физике полупроводников

электронные свойства  
наноразмерных систем

структура и свойства  
полупроводников с  
примесями переходных  
элементов

новые электронные  
явления и материалы

20 - 25 февраля 2012 г.  
Екатеринбург - Новоуральск

## Содержание

---

### Электронные свойства низкоразмерных систем

### Electronic Properties of Low-Dimensional Systems

59

- L-01 Термоэлектрические свойства взаимодействующих двумерных электронов в диффузионном режиме

*B.T. Долгополов*

Thermoelectric properties of the interacting two dimensional electrons in the diffusion regime

*V.T. Dolgopolov* . . . . . 59

- L-02 Магнитоосцилляции типа Ааронова–Бома в сопротивлении перфорированного графена

*B.A. Волков, B.B. Еналдиев*

The Aharonov–Bohm like magnetooscillations in resistance of perforated graphene

*V.A. Volkov, V.V. Enaldiev* . . . . . 60

- L-03 Ферромагнитные нанокомпозиты как спинtronные материалы с управляемой магнитной структурой

*G.V. Лашкарев, M.V. Радченко, M.Э. Бугаева, W. Кнофф, T. Стори, Я.А. Стельмакх, Л.А. Крушинская, В.И. Лазоренко, A.И. Дмитриев, В.И. Сичковский, Н.Н. Павлюк*

Ferromagnetic nanocomposites as spintronic materials with predicted magnetic structure

*G.V. Lashkarev, M.V. Radchenko, M.E. Bugaiova, W. Knoff, T. Story, L.A. Krushynskaya, Y.A. Stelmakh, V.I. Lazorenko, A.I. Dmitriev, V.I. Sichkovskyi, N.N. Pavlyuk* . . . . . 62

L-04 Состояния типа "шредингеровский кот" в полупроводниках и низкоразмерных полупроводниковых структурах <i>В.Я. Демиховский</i>	64
Schrodinger's cat-like states in semiconductors and low dimensional structures <i>V.Ya. Demikhovskii</i> . . . . .	64
L-05 Увеличение температуры сверхпроводящего перехода из-за андерсоновской локализации <i>И.С. Бурмистров, И.В. Горный, А.Д. Мирлин</i> Enhancement of superconductivity by Anderson localization <i>I.S. Burmistrov, I.V. Gornyi, A.D. Mirlin</i> . . . . .	66
L-06 Levitation of extended states and other various facets of Chalker-Coddington network model <i>V.A. Kagalovsky</i> . . . . .	68
L-07 Features of dynamics of spin excitations in two-dimensional electron structures <i>V.M. Edelstein</i> . . . . .	70
L-08 Nondissipative electron transport in photon-dressed nanostructures <i>O.V. Kibis</i> . . . . .	72
L-09 Shubnikov-de Haas oscillations in ultra-high mobility GaAs/AlGaAs quantum wells at very high tilt angles <i>M.A. Zudov, A.T. Hatke, L.N. Pfeiffer, K.W. West</i> . . . . .	74
L-10 Phase transition in the tunneling contact to a Luttinger liquid <i>A.P. Dmitriev, I.V. Gornyi, V.Yu. Kachorovskii, D.G. Polyakov</i> . . . . .	76
L-11 Высокочастотная прыжковая проводимость в полупроводниках. Акустические методы исследования <i>И.Л. Дричко</i> High-Frequency Hopping in Semiconductors. Acoustical methods of research <i>I.L. Drichko</i> . . . . .	78
L-12 Частотная зависимость импеданса системы двумерный электронный газ–полевой электрод <i>А.А. Шерстобитов, Г.М. Миньков, А.В. Германенко, О.Э. Рут, И.В. Солдатов, Б.Н. Звонков</i>	80

The 2D electron gas-gate impedance frequency dependence <i>A.A. Sherstobitov, G.M. Minkov, A.V. Germanenko, O.E. Rut, I.V. Soldatov, B.N. Zvonkov</i>	80
L-13 Туннелирование Зинера между уровнями Ландау в двумерных и квазидвумерных электронных системах <i>А.А. Быков</i>	82
Zener tunneling between Landau levels in two-dimensional and quasi-two-dimensional electron systems <i>A.A. Bykov</i>	82
L-14 Магнетосопротивление в массиве квантовых точек с разной степенью локализации носителей заряда <i>Н.П. Степина, Е.С. Коптев, А.Г. Погосов, А.В. Двуречен- ский, Е.Ю. Жданов, А.И. Никифоров</i>	83
Magnetoresistance in 2D quantum dot system with different localization radius <i>N.P. Stepina, E.S. Koptev, A.G. Pogosov, A.V. Dvurechenskii, E.Yu. Zhdanov, A.I. Nikiforov</i>	83
L-15 Дираковские фермионы в HgTe квантовых ямах <i>З.Д. Квон</i>	85
Dirac fermions in HgTe quantum wells <i>Z.D. Kwon</i>	85
L-16 Диамагнитный отклик капель металлического индия на по- верхности пленок InN при гелиевых температурах <i>М.А. Шахов, А.В. Lashkul, Т.А. Комиссарова, С.В. Иванов, Р.В. Парфеньев</i>	87
Diamagnetic response of metallic In droplets on the InN film surface at helium temperatures <i>M.A. Shakhov, A.V. Lashkul, T.A. Komissarova, S.V. Ivanov, R.V. Parfeniev</i>	87
L-17 Конфигурационное взаимодействие в гетероструктурах с $\delta$ - легированием Mn <i>И.В. Рожанский, Н.С. Аверкиев, Е. Lahderanta</i>	89
Configuration interaction in Mn $\delta$ -doped heterostructures <i>I.V. Rozhansky, N.S. Averkiev, E. Lahderanta</i>	89

L-18 Электронные интерферометры в режиме квантового эффекта Холла <b>Э.В. Девятов</b>	91
Quantum Hall interferometers <b>E.V. Deviatov</b> . . . . .	91
L-19 Передача энергии при парном рассеянии электронов одномерных ферми-жидкостей противоположной киральности в присутствии потенциала беспорядка <b>М.Г. Прокудина, В.С. Храпай</b>	93
Energy transfer in the pair electrons scattering of the 1D Fermi-liquid with opposite chirality in the presence of disorder <b>M.G. Prokudina, V.S. Khrapai</b> . . . . .	93
L-20 Эффекты псевдоспиновой поляризации и ферромагнетизм в режиме квантового эффекта Холла в квазидвумерном слое HgTe <b>М.В. Якунин, А.В. Суслов, С.М. Подгорных, Н.Н. Михайлов, С.А. Дворецкий</b>	95
Pseudospin polarization phenomena and quantum Hall ferromagnetism in the HgTe quantum well <b>M.V. Yakunin, A.V. Suslov, S.M. Podgornykh, N.N. Mikhailov, S.A. Dvoretsky</b> . . . . .	95
L-21 Спектр двумерного полуметалла на основе КЯ CdHgTe/HgTe в режиме КЭХ <b>Д.А. Козлов, З.Д. Квон, Н.Н. Михайлов, С.А. Дворецкий, В.Т. Долгополов, Э.В. Девятов, J.C. Portal</b>	97
Spectrum of 2D semimetal based on CdHgTe/HgTe quantum well in QHE mode <b>D.A. Kozlov, Z.D. Kvon, N.N. Mikhailov, S.A. Dvoretsky, V.T. Dolgopolov, E.V. Devyatov, J.C. Portal</b> . . . . .	97
L-22 Транспортное время рассеяния и квантовое время жизни в гетероструктурах GaAs/AlAs <b>Д.В. Дмитриев, И.С. Стрыгин, А.А. Быков</b>	99
Transport scattering time and single-particle relaxation time in GaAs/AlAs heterostructures <b>D. V. Dmitriev, I.S. Strygin, A.A. Bykov</b> . . . . .	99

- L-23 Влияние характера рассеивающего потенциала на делокализованные состояния в режиме квантового эффекта Холла в гетероструктурах n-InGaAs/GaAs  
*A.C. Клепикова, В.Н. Неверов, С.В. Гудина, М.В. Якунин* . . . . .  
The influence of the scattering potential character on the delocalized states in the regime of quantum Hall effect in heterostructures n-InGaAs/GaAs  
*A.S. Klepikova, V.N. Neverov, S.V. Gudina, M.V. Yakunin* . . . . . 100
- L-24 Влияние градиента магнитного поля на продольное сопротивление двумерного электронного газа  
*Е.В. Козик, А.Б. Воробьев*  
Influence of magnetic field gradient on longitudinal resistance of two-dimensional electron gas  
*E. V. Kozik, A.B. Vorob'ev* . . . . . 102
- L-25 Влияние инфракрасного излучения на квантовый магнитотранспорт в структурах n-InGaAs/GaAs с двумя сильно связанными квантовыми ямами  
*Ю.Г. Арапов, С.В. Гудина, В.Н. Неверов, С.М. Подгорных, М.В. Якунин*  
Effect of infrared illumination on quantum magnetotransport in strongly coupled n-InGaAs/GaAs double quantum wells  
*Yu.G. Arapov, S.V. Gudina, V.N. Neverov, S.M. Podgornykh, M.V. Yakunin* . . . . . 104
- L-26 Электрон-электронное рассеяние в структурах n-InGaAs/GaAs с двойными сильно-связанными квантовыми ямами  
*Ю.Г. Арапов, С.В. Гудина, В.Н. Неверов, С.М. Подгорных, М.В. Якунин*  
Electron-electron scattering in a structures n-InGaAs/GaAs with strongly coupled double quantum wells  
*Yu.G. Arapov, S.V. Gudina, V.N. Neverov, S.V. Podgornykh, M.V. Yakunin* . . . . . 106
- L-27 Интерференция спиновых и псевдоспиновых щелей в квантовом магнитотранспорте двойной квантовой ямы n-InGaAs/GaAs  
*М.В. Якунин, С.М. Подгорных, В.Н. Неверов, А.П. Савельев, А. де Виссер, Дж. Галисту*

- Interference of the spin and pseudospin gaps in the magnetotransport of a n-InGaAs/GaAs double quantum well  
*I.I. Yakunin, S.M. Podgornykh, V.N. Neverov, A.P. Savel'ev,  
A. de Visser, G. Galistu . . . . . 108*
- L-28 Аномальное поведение коэффициента Холла в гетероструктурах  $p\text{-Ge}/\text{Ge}_{1-x}\text{Si}_x$  в слабых магнитных полях  
*В.Н. Неверов, Ю.Г. Арапов, С.В. Гудина, А.С. Клепикова,  
О.А. Кузнецов, А.Т. Лончаков . . . . . 110*
- Hall factor anomalous behavior in  $p\text{-Ge}/\text{Ge}_{1-x}\text{Si}_x$  heterostructures at weak magnetic field  
*V.N. Neverov, Yu.G. Arapov, S.V. Gudina, A.S. Klepikova,  
O.A. Kuznetsov, A.T. Lonchakov . . . . . 110*
- L-29 Эффективность переноса фотовозбужденных носителей заряда в структурах  $\text{SnO}_2\text{-CdSe}$  в зависимости от размера нанокристаллов CdSe  
*В.И. Кочинев, К.А. Дроздов, А.А. Добровольский, Р.Б. Васильев, А.В. Попело, М.Н. Румянцева, А.М. Гаськов, Л.И. Рябова, Д.Р. Хохлов . . . . . 112*
- Efficiency of the photoexcited charge carriers transport in  $\text{SnO}_2\text{-CdSe}$  structures depending on the size of CdSe nanocrystals  
*V.I. Kochnev, K.A. Drozdov, A.A. Dobrovolsky, R.B. Vasiliev, A.V. Popelo, M.N. Rumyantseva, A.M. Gaskov, L.I. Ryabova, D.R. Khokhlov . . . . . 112*
- L-30 Особенности электронного транспорта в релаксированных  $\text{Si}/\text{Si}_{1-x}\text{Ge}_x$  гетероструктурах с высоким уровнем легирования  
*Л.К. Орлов, Н.Л. Ирина, В.Н. Неверов, М.Л. Орлов, А.А. Мельникова . . . . . 114*
- Peculiarities of the electron transport in relaxed  $\text{Si}/\text{Si}_{1-x}\text{Ge}_x$  heterostructures with the high doping level  
*L.K. Orlov, N.L. Ivina, V.N. Neverov, M.L. Orlov, A.A. Mel'nikova . . . . . 114*
- L-31 Параметрическая генерация высокочастотных гармоник квазистатическим полем в полупроводниковой сверхрешетке  
*Ю.Ю. Романова, Л.К. Орлов . . . . . 116*
- High frequency parametric generation in semiconductor superlattice under quasistatic field  
*Yu.Yu. Romanova, L.K. Orlov . . . . . 116*

- L-32 СТМ-исследование адсорбции фуллеренов и их фторпроизводных на поверхности Si(111)  
**В.Э. Фахриев, Р.З. Бахтизин**  
STM investigation of the adsorption of fullerenes and their fluorine derivatives on Si(111)  
**V.E. Fahriev, R.Z. Bakhtizin . . . . . 118**
- L-33 Исследование влияния конструкции метаморфных НЕМТ наногетероструктур  $\text{In}_{0.68}\text{Al}_{0.32}\text{As}/\text{In}_{0.72}\text{Ga}_{0.28}\text{As}$  на подложках GaAs на их структурные и электрофизические свойства  
**Г.Б. Галиев, И.С. Васильевский, О.М. Жигалина, Р.М. Имамов, Е.А. Клинов, С.С. Пушкиров**  
Transmission electron microscopy of metamorphic HEMT nanoheterostructures  $\text{In}_{0.68}\text{Al}_{0.32}\text{As}/\text{In}_{0.72}\text{Ga}_{0.28}\text{As}$  on GaAs substrate  
**G.B. Galiev, I.S. Vasil'evskii, O.M. Zhigalina, R.M. Imamov, E.A. Klimov, S.S. Pushkaryov . . . . . 120**
- L-34 Проводимость по состояниям Ванье-Штарка в сверхрешетках InAs/AlSb  
**М.С. Каган, И.В. Алтухов, А.Н. Баранов, Н.Д. Ильинская, С.К. Папроцкий, [В.П. Синис], Р. Тесье, А.А. Усикова**  
Wannier-Stark Hopping in InAs/AlSb Superlattices  
**M.S. Kagan, I.V. Altukhov, A.N. Baranov, N.D. Il'inskaya, S.K. Paprotskiy, [V.P. Sinis], R. Teissier, and A.A. Usikova . . . 122**
- L-35 Электронные свойства проводящих прозрачных оксидов цинка и индия  
**В.А. Кульбачинский, В.Г. Кытин, О.В. Рейкурова, Л.И. Буро-ва, А.Р. Кауль, Ю.М. Гальперин, А.Г. Ульяшин**  
Electron properties of conducting transparent zinc and indium oxides  
**V.A. Kulbachinskii, V.G. Kytin, O.V. Reukova, L.I. Burova, A.R. Kaul, Yu.M. Galperin, A.G. Ulyashin . . . . . 124**
- L-36 Диэлектрические свойства структур на основе металлических островковых пленок  
**А.П. Болтаев, Ф.А. Пудонин, И.А. Шерстнев**  
Dielectric properties of structures based on metal island films  
**A.P. Boltaev, F.A. Pudonin, I.A. Sherstnev . . . . . 126**

Interference of the spin and pseudospin gaps in the magnetotransport of a n-InGaAs/GaAs double quantum well <i>I.I. Yakunin, S.M. Podgornykh, V.N. Neverov, A.P. Savel'ev, A. de Visser, G. Galistu . . . . .</i>	108
L-28 Аномальное поведение коэффициента Холла в гетероструктурах $p\text{-Ge}/\text{Ge}_{1-x}\text{Si}_x$ в слабых магнитных полях <i>В.Н. Неверов, Ю.Г. Арапов, С.В. Гудина, А.С. Клепикова, О.А. Кузнецов, А.Т. Лончаков . . . . .</i>	110
Hall factor anomalous behavior in $p\text{-Ge}/\text{Ge}_{1-x}\text{Si}_x$ heterostructures at weak magnetic field <i>V.N. Neverov, Yu.G. Arapov, S.V. Gudina, A.S. Klepikova, O.A. Kuznetsov, A.T. Lonchakov . . . . .</i>	110
L-29 Эффективность переноса фотовоизбужденных носителей заряда в структурах $\text{SnO}_2\text{-CdSe}$ в зависимости от размера нанокристаллов CdSe <i>В.И. Коchner, К.А. Дроздов, А.А. Добровольский, Р.Б. Васильев, А.В. Попело, М.Н. Румянцева, А.М. Гаськов, Л.И. Рябова, Д.Р. Хохлов . . . . .</i>	112
Efficiency of the photoexcited charge carriers transport in $\text{SnO}_2\text{-CdSe}$ structures depending on the size of CdSe nanocrystals <i>V.I. Kochnev, K.A. Drozdov, A.A. Dobrovolsky, R.B. Vasiliev, A.V. Popelo, M.N. Rumyantseva, A.M. Gaskov, L.I. Ryabova, D.R. Khokhlov . . . . .</i>	112
L-30 Особенности электронного транспорта в релаксированных $\text{Si}/\text{Si}_{1-x}\text{Ge}_x$ гетероструктурах с высоким уровнем легирования <i>Л.К. Орлов, Н.Л. Ивина, В.Н. Неверов, М.Л. Орлов, А.А. Мельникова . . . . .</i>	114
Peculiarities of the electron transport in relaxed $\text{Si}/\text{Si}_{1-x}\text{Ge}_x$ heterostructures with the high doping level <i>L.K. Orlov, N.L. Ivina, V.N. Neverov, M.L. Orlov, A.A. Mel'nikova . . . . .</i>	114
L-31 Параметрическая генерация высокочастотных гармоник квазистатическим полем в полупроводниковой сверхрешетке <i>Ю.Ю. Романова, Л.К. Орлов . . . . .</i>	116
High frequency parametric generation in semiconductor superlattice under quasistatic field <i>Yu.Yu. Romanova, L.K. Orlov . . . . .</i>	116

L-32 СТМ-исследование адсорбции фуллеренов и их фторпроизводных на поверхности Si(111)	
<i>В.Э. Фахриев, Р.З. Бахтизин</i>	
STM investigation of the adsorption of fullerenes and their fluorine derivatives on Si(111)	
<i>V.E. Fahriev, R.Z. Bakhtizin . . . . .</i>	118
L-33 Исследование влияния конструкции метаморфных НЕМТ наногетероструктур $\text{In}_{0.68}\text{Al}_{0.32}\text{As}/\text{In}_{0.72}\text{Ga}_{0.28}\text{As}$ на подложках GaAs на их структурные и электрофизические свойства	
<i>Г.Б. Галиев, И.С. Васильевский, О.М. Жигалина, Р.М. Имамов, Е.А. Клинов, С.С. Пушкарев</i>	
Transmission electron microscopy of metamorphic HEMT nanoheterostructures $\text{In}_{0.68}\text{Al}_{0.32}\text{As}/\text{In}_{0.72}\text{Ga}_{0.28}\text{As}$ on GaAs substrate	
<i>G.B. Galiev, I.S. Vasil'evskii, O.M. Zhigalina, R.M. Imamov, E.A. Klimov, S.S. Pushkarov . . . . .</i>	120
L-34 Проводимость по состояниям Ванье-Штарка в сверхрешетках InAs/AlSb	
<i>М.С. Каган, И.В. Алтухов, А.Н. Баранов, Н.Д. Ильинская, С.К. Папроцкий, [В.П. Синис], Р. Тессье, А.А. Усикова</i>	
Wannier-Stark Hopping in InAs/AlSb Superlattices	
<i>M.S. Kagan, I.V. Altukhov, A.N. Baranov, N.D. Il'inskaya, S.K. Paprotskiy, [V.P. Sinis], R. Teissier, and A.A. Usikova . . . . .</i>	122
L-35 Электронные свойства проводящих прозрачных оксидов цинка и индия	
<i>В.А. Кульбачинский, В.Г. Кытин, О.В. Реукова, Л.И. Бурова, А.Р. Кауль, Ю.М. Гальперин, А.Г. Ульяшин</i>	
Electron properties of conducting transparent zinc and indium oxides	
<i>V.A. Kulbachinskii, V.G. Kytin, O.V. Reukova, L.I. Burova, A.R. Kaul, Yu.M. Galperin, A.G. Ulyashin . . . . .</i>	124
L-36 Диэлектрические свойства структур на основе металлических островковых пленок	
<i>А.П. Болтаев, Ф.А. Пудонин, И.А. Шерстнев</i>	
Dielectric properties of structures based on metal island films	
<i>A.P. Boltaev, F.A. Pudonin, I.A. Sherstnev . . . . .</i>	126

L-37 Установление механизма формирования поверхностной сверхструктуры адатомов в системах электроположительный адсорбат-подложка на основе моделирования методом Монте-Карло	<i>С.А. Хубежов, И.В. Тваури, Е.В. Марядзе, А.М. Турьев, Н.И. Цидаева, Т.Т. Магкоев</i>	
The mechanism of formation of surface superstructure of adsorbed atoms in the prototype electropositive atom-substrate system by Monte-Carlo modeling	<i>S.A. Khubezhov, I.V. Tvauri, E.V. Maryamidze, A.M. Turiev, N.I. Tsidaeva, T.T. Magkoev</i>	128
L-38 Spin current induced by the sound wave	<i>I.I. Lyapilin</i>	130
L-39 «Шредингеровский кот» в двухслойном графене, помещенном в перпендикулярное магнитное поле	<i>Е.В. Фролова, А.В. Тележников, Н.А. Кравец</i>	
«Schrodinger cat» in bilayer graphene in a perpendicular magnetic field	<i>E.V. Frolova, A.V. Telezhnikov, N.A. Kravets</i>	132
L-40 Динамика электронных волновых пакетов в монослоистом графене, находящемся в магнитном поле	<i>А.В. Тележников</i>	
The dynamics of electron wave packets in monolayer graphene in a magnetic field	<i>A.V. Telezhnikov</i>	134
L-41 Is spin-orbit interaction a result of filling?	<i>E.L. Rumyantsev</i>	136
L-42 Персистентное случайное блуждание по одно- и двумерным решеткам при регулярном и случайном асимметричном рассеянии	<i>П.Е. Кунавин, Е.Л. Румянцев</i>	
Persistent random walk on one and two dimensional lattices with regular and random transmittances	<i>P.E. Kunavin, E.L. Rumyantsev</i>	138
L-43 Спиновая поляризация электронов в двойной квантовой проволоке	<i>А.А. Васильченко, А.В. Бунякин, П.В. Сыромятников</i>	

Spin polarization of electrons in double quantum wire <i>A.A. Vasilchenko, A.V. Bunyakin, P.V. Syromyatnikov . . . . .</i>	139
L-44 Осцилляции незатухающего тока в квантовых точках <i>А.А. Васильченко, А.В. Бунякин</i>	
Persistent current oscillation in quantum dots <i>A.A. Vasilchenko, A.V. Bunyakin . . . . .</i>	141

---

**Структура и свойства полупроводников  
с примесями переходных элементов**

**Structure and Properties of the Semiconductors  
with Impurities of Transition Elements**

145

T-01 Origin of ferromagnetism and magnetization manipulation in hole-mediated ferromagnetic semiconductors <i>T. Dietl . . . . .</i>	145
T-02 Взаимодействие ультразвука с анизотропными Ян-Теллеровскими центрами в полупроводниках <i>H.C. Аверкиев, K.A. Барышников, I.B. Берсукер, V.V. Гудков, A.M. Монахов, V.E. Седов</i>	
Ultrasonic interaction with anisotropic Jahn-Teller centers in semiconductors <i>N.S. Averkiev, K.A. Baryshnikov, I.B. Bersuker, V.V. Gudkov, A.M. Monakhov, V.E. Sedov . . . . .</i>	146
T-03 Incorporation and magnetism of transition metals in GaN: experiment vs. theory <i>A. Bonanni . . . . .</i>	148
T-04 A content analysis of ternary alloys. What is at the origin of the failure of the Bernoulli distribution? <i>B.V. Robouch, A. Marcelli, A. Kisiel . . . . .</i>	149
T-05 $\text{Si}_{1-x}\text{Mn}_x$ ( $x \approx 0.35$ ) — высокотемпературная ферромагнитная структура на основе полупроводника <i>Б.А. Аронзон, В.В. Рыльков, В.В. Тугушев, С.Н. Николаев</i>	

$\text{Si}_{1-x}\text{Mn}_x$ ( $x \approx 0.35$ ) — semiconductor based high temperature ferromagnetic structure	
<i>B.A. Агонзоп, V.V. Рыльков, V.V. Тугушев, S.N. Николаев . . . . .</i>	151
T-06 Электронная структура сплавов на основе теллурида свинца, легированных ванадием	
<i>E.P. Скипетров, A.H. Голованов</i>	
Electronic structure of lead telluride-based alloys doped with vanadium	
<i>E.P. Skipetrov, A.N. Golovanov . . . . .</i>	152
T-07 Спонтанская спиновая поляризация электронов в гибридизированных состояниях на примесях переходных элементов в полупроводниках: теоретические предсказания и экспериментальные свидетельства	
<i>B.I. Окулов, Г.А. Альшанский, Т.Е. Говоркова, И.В. Жевстовских, А.Т. Лончаков, К.А. Окулова, Е.А. Памятных, Ю.В. Забазнов, Л.Д. Паранчич, С.М. Подгорных, М.Д. Андрийчук</i>	
Spontaneous spin polarization of electrons in hybridized states by transition element impurities in semiconductors: theoretical predictions and experimental evidences	
<i>V.I. Okulov, G.A. Al'shanskii, T.E. Govorkova, I.V. Zhevstovskikh, A.T. Lonchakov, K.A. Okulova, E.A. Pamyatnykh, Yu.V. Zabaznov, L.D. Paranchich, S.M. Podgornykh, M.D. Andriichuk . . . . .</i>	154
T-08 ZnCoO films for spintronics applications	
<i>M.I. Lukasiewicz, A. Wójcik-Głodowska, E. Guziewicz, B.S. Witkowski, M. Godlewski . . . . .</i>	156
T-09 Типы локальных искажений кристаллической структуры сфалерита в разбавленных магнитных полупроводниках на основе ZnSe, формируемые магнитоактивными 3d-ионами	
<i>B.I. Максимов, С.Ф. Дубинин, Т.П. Суркова, В.Д. Пархоменко</i>	
Types of local distortions of the sphalerite crystal structure of diluted magnetic semiconductors based on ZnSe doped by magnetically active 3d-ions.	
<i>V.I. Maximov, S.F. Dubinin, T.P. Surkova, V.D. Parkhomenko . . . . .</i>	158

T-10 Spin-polarized half-metallic state of a ferromagnetic delta layer embedded in a semiconducting matrix <i>S. Caprara, V.V. Tugushev, E.V. Chulkov</i>	160
T-11 Photoemission spectroscopy of Mn-doped diluted magnetic semiconductors exhibiting ferromagnetism <i>B.J. Kowalski, R. Nietubyc, J. Sadowski, M. Pietrzyk, W. Knoff, A. Lusakowski, T. Story</i>	161
T-12 High pressure induced local symmetry changes in Pr <sup>3+</sup> doped materials <i>M. Grinberg, A. Lazarowska, S. Mahlik, M. Krośnicki, M. Malinowski</i>	163
T-13 Rare earth ions in heterostructures CdF <sub>2</sub> /CaF <sub>2</sub> /Si(111) and thin films TiO <sub>2</sub> /Si <i>V.A. Chernyshev, A.E. Nikiforov, S.V. Gastev, N.S. Sokolov</i>	166
T-14 Магнитное упорядочение в дискретных сплавах германия и кремния с переходными 3d-металлами <i>М.М. Отроков, А. Эрнст, С.А. Останин, Г. Фишер, В.В. Тугушев, Л.М. Сандратский, П. Бучек, В. Хергерт, И. Мертиг, В.М. Кузнецков, Е.В. Чулков</i> Magnetic ordering in digital alloys of group-IV semiconductors with 3d-transition metals <i>M.M. Otrokov, A. Ernst, S. Ostanin, G. Fischer, V.V. Tugushev, L.M. Sandratskii, P. Buczek, W. Hergert, I. Mertig, V.M. Kuznetsov, E.V. Chulkov</i>	167
T-15 Высокотемпературный ферромагнетизм и аномальный эффект Холла в неупорядоченных слоях Si <sub>1-x</sub> Mn <sub>x</sub> при x ≈ 0.5 <i>В.В. Рыльков, Б.А. Аронзон, С.Н. Николаев, В.В. Тугушев, И. Лихачев, Э.М. Пашаев, А.С. Семисалова, Н.С. Перов, А.Б. Грановский, О.А. Новодворский, О.Д. Храмова, Е.В. Хайдуков, В.Я. Панченко</i> High-temperature ferromagnetism and anomalous Hall effect in disordered Si <sub>1-x</sub> Mn <sub>x</sub> layers at x ≈ 0.5 <i>V.V. Rylkov, B.A. Aronzon, S.N. Nikolaev, V.V. Tugushev, I. Likhachev, E.M. Pashaev, A.S. Semisalova, N.S. Perov, A.B. Granovsky, O.A. Novodvorsky, O.D. Khramova, E.V. Khaidukov, V.Ya. Panchenko</i>	169

- T-16 Магнитные свойства сплавов  $Pb_{1-x-y}Sn_xV_yTe$   
**E.P. Скипетров, А.Н. Голованов, Л.А. Скипетрова,  
A.В. Кнотько, Е.И. Слынько, В.Е. Слынько**
- Magnetic properties of  $Pb_{1-x-y}Sn_xV_yTe$  alloys  
**E.P. Skipetrov, A.N. Golovanov, L.A. Skipetrova, A.V. Knotko,  
E.I. Slynko, V.E. Slynko** . . . . . 172
- T-17 Температурная зависимость энергии активации прыжковой проводимости мanganита  $Pr_{0.78}Sr_{0.22}MnO_3$   
**Н.А. Угрюмова, Э.А. Нейфельд, В.Е. Архипов, А.В. Королев**
- Temperature dependence of the activation energy of the hopping conductivity in manganite  $Pr_{0.78}Sr_{0.22}MnO_3$   
**N.A. Ugryumova, E.A. Neifeld, V.T. Arkhipov, A.V. Korolev** . . 174
- T-18 Локальная нестабильность кристаллической решетки в системе твердых растворов разбавленных магнитных полупроводников  $ZnS_{1-x}Se_x : Fe$  ( $x = 0, 0.2, 1$ )  
**В.И. Максимов, С.Ф. Дубинин, Т.П. Суркова, В.Д. Пархоменко**
- Local instability of crystal lattice in solid solutions system of  $ZnS_{1-x}Se_x : Fe$  ( $x = 0, 0.2, 1$ ) diluted magnetic semiconductors  
**V.I. Maximov, S.F. Dubinin, T.P. Surkova, V.D. Parkhomenko** . . 176
- T-19 Взаимодействие ультразвука с ян-теллеровскими центрами в кристалле GaAs:Cu  
**Н.С. Аверкиев, К.А. Барышников, И.Б. Берсукер, В.В. Гудков, И.В. Жевстовских, В.Ю. Маякин, А.М. Монахов, М.Н. Сарычев, В.Е. Седов**
- Interaction of ultrasound with Jahn-Teller centers in GaAs:Cu crystal  
**N.S. Averkiev, K.A. Baryshnikov, I.B. Bersuker, V.V. Gudkov,  
I.V. Zhevstovskikh, V.Yu. Mayakin, A.M. Monakhov,  
M.N. Sarychev, V.E. Sedov** . . . . . 178
- T-20 Поглощение ультразвука на ян-теллеровских центрах в кубических полупроводниках в магнитном поле  
**К.А. Барышников**
- Ultrasonic wave attenuation on the Jahn-Teller centers in cubic semiconductors in magnetic field  
**K.A. Baryshnikov** . . . . . 180

- Т-21 Энергетический спектр антимонида галлия, легированного железом  
*Е.И. Георгицэ, А.К. Михэлаке, К.И. Туртэ*  
Energy spectrum of Fe-doped gallium antimonide  
*E. Gheorghitsă, A. Mihălache, C. Turtă . . . . . 182*
- Т-22 Магнитосопротивление мanganита  $\text{La}_{0.85}\text{Ba}_{0.15}\text{MnO}_3$  в ферромагнитной диэлектрической фазе. Связь с эффектом колоссального магнитосопротивления  
*М.И. Куркин, Э.А. Нейфельд, А.В. Королев, Н.А. Угрюмова, С.А. Гудин, Н.Н. Гапонцева . . . . . 184*  
Magnetoresistance of the ferromagnetic insulating phase in  $\text{La}_{0.85}\text{Ba}_{0.15}\text{MnO}_3$  manganite in a relation to the effect of colossal magnetoresistance  
*M.I. Kurkin , E.A. Neifeld, A.V. Korolev, N.A. Uglyumova, S.A. Gudin, N.N. Gapontseva . . . . . 184*
- Т-23 Проявление сильной гибридизации *d*- и *p*-состояний в спектрах фотолюминесценции кристаллов оксида цинка, легированного кобальтом и никелем  
*В.И. Соколов, В.А. Пустоваров, Н.Б. Груздев, В.Н. Чурманов . . . . . 186*  
Manifestation of strong *d-p* hybridization in photoluminescence spectra of  $\text{ZnO}:(\text{Co},\text{Ni})$  crystals  
*V.I. Sokolov, V.A. Pustovarov, N.B. Gruzdev, V.N. Churmanov . . . . . 186*
- Т-24 Эффекты гибридизации электронных состояний примесей кобальта в сelenиде ртути  
*Т.Е. Говоркова, Г.А. Альшанский, В.И. Окулов, М.Л. Котов, Л.Д. Паранчик, М.Д. Андрийчук . . . . . 188*  
Hybridization effects of electron states of cobalt impurities in mercury selenide  
*T.E. Govorkova, G.A. Al'shanskii, V.I. Okulov, M.L. Kotov, L.D. Paranchich, M.D. Andriichuk . . . . . 188*
- Т-25 Наблюдение и интерпретация аномалий теплопроводности электронов в гибридизированных состояниях на примесях кобальта в селениде ртути  
*А.Т. Лончаков, Т.Е. Говоркова, В.И. Окулов, К.А. Окулова, Л.Д. Паранчик, С.М. Подгорных М.Д. Андрийчук . . . . . 188*

Observation and interpretation of the specific heat anomalies of electron in hybridized states by cobalt impurities in mercury selenide

*A.T. Lonchakov, T.E. Govorkova, V.I. Okulov, K.A. Okulova, L.D. Paranchich, S.M. Podgornykh, M.D. Andriichuk . . . . . 190*

---

## Новые электронные явления и материалы

### New Electronic Phenomena and Materials

195

NM-01 Отсутствие перехода Андерсона в высокорезистивных сплавах с большой электронной плотностью

*В.Ф. Гантмахер*

Absence of the Anderson transition in highresistivity alloys with high electron concentration

*V.F. Gantmakher . . . . . 195*

NM-02 Механизмы гашения задержанной фотопроводимости в  $Pb_{1-x}Sn_xTe(In)$

*В.И. Черничкин, Д.Е. Долженко, Л.И. Рябова, Д.Р. Хохлов*

Mechanisms of quenching of the persistent photoconductivity in  $Pb_{1-x}Sn_xTe(In)$

*V.I. Chernichkin, D.E. Dolzhenko, L.I. Ryabova, D.R. Khokhlov 197*

NM-03 Переход Андерсона: Теория и численный эксперимент

*И.М. Суслов*

The Anderson Transition: Theory and Numerical Experiment

*I.M. Suslov . . . . . 199*

NM-04 Электронная структура топологических изоляторов  $A^{IV}B^{VI}$ .

$m(A_2^V B_3^{VI})$  ( $A^{IV} = Ge, Sn, Pb; A^V = Bi, Sb; B^{VI} = Te, Se; m = 1, 2, 3$ )

*C.B. Еремеев, Т.В. Меньшикова, Ю.М. Коротеев, Е.В. Чулков*

Electronic Structure of  $A^{IV}B^{VI} \cdot m(A_2^V B_3^{VI})$  ( $A^{IV} = Ge, Sn, Pb;$

$A^V = Bi, Sb; B^{VI} = Te, Se; m = 1, 2, 3$ ) topological insulators

*S.V. Eremeev, T.V. Menshikova, Yu.M. Koroteev, E.V. Chulkov 201*

NM-05 Low temperature ZnO thin films for electronics <i>E. Guziewicz, M. Godlewski, T.A. Krajewski, L. Wachnicki, G. Luka, S. Gieraltowska, B.S. Witkowski . . . . .</i>	203
NM-06 Radiative recombination mechanisms in nitride semiconductor structures revealed by high-pressure studies <i>A. Kamińska . . . . .</i>	204
NM-07 Plasma-assisted MBE growth of nitride heterostructures <i>Z.R. Zytkiewicz, M. Sobanska, K. Klosek, A. Wierzbicka, J. Borysiuk, A. Reszka . . . . .</i>	206
NM-08 Электронно-дырочная Бозе жидкость – новое фазовое состояние сильнокоррелированных 3d систем <i>A.C. Москвин</i>	
Electron-hole Bose liquid is a novel phase state of strongly correlated 3d systems <i>A.S. Moskvin . . . . .</i>	208
NM-09 Выращивание и определение состава HgCdTe гетероструктур для двухспектральных фотоприемников 3 ÷ 5 и 8 ÷ 12 мкм <i>C.A. Дворецкий, Н.Н. Михайлов, В.Г. Ремесник, П.В. Сизиков, Ю.Г. Сидоров</i>	
The HgCdTe growth and composition determination for dual band 3 ÷ 5 and 8 ÷ 12 mkm detectors <i>S.A. Dvoretsky, N.N. Mikhailov, V.G. Remesnik, P.V. Sizikov, Yu.G. Sidorov . . . . .</i>	210
NM-10 Двухспектральные HgCdTe фотоприемные устройства <i>Н.Н. Михайлов, Д.В. Брунев, В.В. Васильев, В.С. Варавин, С.А. Дворецкий, Д.Г. Икусов, А.В. Предеин, В.Г. Ремесник, И.В. Сабинина, Г.Ю. Сидоров, Ю.Г. Сидоров, А.О. Сусяков</i>	
The HgCdTe based dual band photodetectors <i>N.N. Mikhailov, D.V. Brunev, V.V. Vasil'ev, V.S. Varavin, C.A. Dvoretsky, D.G. Ikusov, A.V. Predein, V.G. Remesnik, I.V. Sabinina, G.Yu. Sidorov, Yu.G. Sidorov, A.O. Suslyakov . . .</i>	212
NM-11 Сверхпроводящие свойства и структура гетерофуллеридов $A_nM_mHg_xC_{60}$ ( $A = K, Rb, Cs; M = Be, Mg, B, Al, Ga, In;$ $n, m = 1, 2; x \ll 1$ ) <i>B.A. Кульбачинский, Б.М. Булычев, Р.А. Лунин, И.П. Ка- чали</i>	

Superconducting properties and structure of heterofullerides $A_nM_mHg_xC_{60}$ ( $A = K, Rb, Cs; M = Be, Mg, B, Al, Ga, In;$ $n, m = 1, 2; x \ll 1$ ) <b>V.A. Kulbachinskii, B.M. Bulychev, R.A. Lunin, I.P. Kachan . . . . .</b>	213
NM-12 Взаимосвязь электронной и дырочной подсистем в электронно-легированном сверхпроводнике $Nd_{2-x}Ce_xCuO_{4+\delta}$ <b>Т.Б. Чарикова, Г.И. Харус, Н.Г.Шелюшинина, В.Н.Неверов, Д.С. Петухов , А.А. Иванов</b>	
Interplay of electron and hole bands in electron-doped superconductors $Nd_{2-x}Ce_xCuO_{4+\delta}$ <b>T.B. Charikova, G.I. Harus, N.G. Shelushinina, V.N. Neverov, D.S. Petukhov, A.A. Ivanov . . . . .</b>	216
NM-13 Hierarchy of nanosized bosonic stripes as a key concept in the problem of high-temperature superconductivity <b>A.V. Mitin . . . . .</b>	218
NM-14 Проявление резонанса Фано в транспортных характеристи- ках спин-димерной системы <b>B.B. Вальков, С.В. Аксенов</b>	
Appearance of Fano resonance in the transport characteristics of a spin-dimer system <b>V.V. Val'kov, S.V. Aksenov . . . . .</b>	220
NM-15 Магнитная анизотропия многослойных периодических структур из магнитных наностровков <b>А.П. Болтаев, Ф.А. Пудонин, И.А. Шерстнев</b>	
Magnetic anisotropy of multilayer periodical structures from magnetic nanoislands <b>A.P. Boltaev, F.A. Pudonin, I.A. Sherstnev . . . . .</b>	222
NM-16 Semiconductor Sources of Terahertz Radiation: Principles, History and Trends <b>M.S. Kagan . . . . .</b>	224
NM-17 Электронные свойства поверхности GaAs(001) с неравновес- ными слоями цезия <b>А.Г. Журавлев, И.Л. Сербин, М.Л. Савченко, А.Г. Паулиш, Г.Э. Шайблер, А.С. Яроевич, В.Л. Альперович</b>	

Electronic properties of GaAs(001) surface with nonequilibrium cesium overlayers A.G. Zhuravlev, I.L. Serbin, M.L. Savchenko, A.G. Paulish, H.E. Scheibler, A.S. Jaroshevich, V.L. Alperovich . . . . .	225
NM-18 New Generation of Superoxide Quantum Dots as Promising Markers in the Developmental Biology and Medicine <b>M.M. Godlewski, M. Godlewski, H. Nevalainen, R. Zabielski</b> . . . . .	227
NM-19 Зарядовое состояние и стабильность поверхности (0001) топологического изолятора $\text{Bi}_2\text{Se}_3$ С.А. Чуркин, К.А. Кох, С.В. Макаренко, В.А. Голяшов, А.С. Кожухов, Д.В. Щеглов, В.В. Атучин, К.Н. Романюк, И.П. Просвирин, <b>О.Е. Терещенко</b>	
Charge state and stability of (0001) $\text{Bi}_2\text{Se}_3$ topological insulator S.A. Churkin, K.A. Kokh, S.V. Makarenko, V.A. Golyashov, A.S. Kozhukhov, D.V. Shcheglov, V.V. Atuchin, K.N. Romanyuk, I.P. Prosvirin, <b>O.E. Tereshchenko</b> . . . . .	229
NM-20 Новые состояния в трехмерных топологических изоляторах <b>Т.В. Меньщикова, С.В. Еремеев, Е.В. Чулков</b>	
New states in three-dimensional topological insulators <b>T.V. Menshchikova, S.V. Eremeev, E.V. Chulkov</b> . . . . .	231
NM-21 Теоретическое исследование энергетической щели трехмерных топологических изоляторов $\text{Bi}_2\text{Te}_3$ и $\text{Bi}_2\text{Se}_3$ <b>И.П. Русинов, И.А. Нечаев, Е.В. Чулков</b>	
Theoretical study of the energy gap of the three-dimensional topological insulators $\text{Bi}_2\text{Te}_3$ and $\text{Bi}_2\text{Se}_3$ <b>I.P. Rusinov, I.A. Nechaev, E.V. Chulkov</b> . . . . .	233
NM-22 Природные серосодержащие минералы, как топологические изоляторы с широкой запрещенной щелью <b>И.В. Силкин, Т.В. Меньщикова, М.М. Отроков, С.В. Еремеев, M.G. Vergniory, Ю.М. Коротеев, Е.В. Чулков</b>	
Natural sulfur minerals as wide-gap topological insulators <b>I.V. Silkin, T.V. Menshchikova, M.M. Otrokov, S.V. Eremeev, M.G. Vergniory, Yu.M. Koroteev, E.V. Chulkov</b> . . . . .	235
NM-23 Гигантское спин-орбитальное расщепление электронных состояний на поверхности $\text{BiTeI}(\text{Cl})$ <b>Ю.М. Коротеев, С.В. Еремеев, И.А. Нечаев, Е.В. Чулков</b>	

Giant spin-orbit splitting of electronic states on the surface of BiTeI(Cl)	
<b>Y.M. Koroteev, S.V. Eremeev, I.A. Nechaev, E.V. Chulkov . . .</b>	237
NM-24 Эффект Холла в электронном сверхпроводнике $Nd_{2-x}Ce_xCuO_{4+\delta}$ с разным уровнем легирования и содержанием кислорода	
<b>Д.С. Петухов, Т.Б. Чарикова, Н.Г. Шелушинина, Г.И. Харус, О.Е. Петухова, В.Н. Неверов, А.А. Иванов</b>	
Hall effect in electron doped superconductor $Nd_{2-x}Ce_xCuO_{4+\delta}$ with different doping level and oxygen content	
<b>D.S. Petukhov, T.B. Charikova, N.G. Shelushinina, G.I. Harus, O.E. Petukhova, V.N. Neverov, A.A. Ivanov . . . . .</b>	239
NM-25 Температурная зависимость верхнего критического поля в электронном сверхпроводнике $Nd_{2-x}Ce_xCuO_{4+\delta}$ с разной степенью беспорядка	
<b>О.Е. Петухова, Т.Б. Чарикова, Н.Г. Шелушинина, Г.И. Харус, Д.С. Петухов, А.А. Иванов</b>	
Temperature dependence of upper critical field in electron-doped $Nd_{2-x}Ce_xCuO_{4+\delta}$ with different degree of disorder	
<b>O.E. Petukhova, T.B. Charikova, N.G. Shelushinina, G.I. Harus, D.S. Petukhov, A.A. Ivanov . . . . .</b>	241
NM-26 Новые механизмы магнитоэлектрической связи в мультиферроиках на основе сильнокоррелированных 3d соединений	
<b>А.С. Москвин, Ю.Д. Панов, Н.С. Федорова</b>	
Novel mechanisms of magnetoelectric coupling in strongly correlated 3d multiferroics	
<b>A.S. Moskvin, Yu.D. Panov, N.S. Fedorova . . . . .</b>	243
NM-27 Фокусировка фононов и фононный транспорт в монокристаллах кремния для режима граничного рассеяния	
<b>И.Г. Кулеев, И.И. Кулеев, А.В. Инюшкин, С.М. Бахарев</b>	
Phonon Focusing and Phonon Transport in Silicon Single Crystal for the Boundary Scattering Regime	
<b>I.G. Kuleyev, I.I. Kuleyev, A.V. Inyushkin S.M. Bakharev . . .</b>	245
NM-28 Эффекты электрической перегрузки в многослойных биполярных приборных структурах ключевого типа	
<b>Д.В. Гусин, А.В. Горбатюк</b>	

Effects of electrical overload in multilayer bipolar switching device structures <i>D.V. Gusin, A.V. Gorbatyuk . . . . .</i>	247
NM-29 Фотопроводимость пленок PbTe(In) при возбуждении тепловым излучением и терагерцовыми лазерными импульсами <b>В.И. Черничкин, Л.И. Рябова, А.А. Добровольский, В.А. Касиян, З.М. Дащевский, С.Д. Ганичев, В.В. Бельков, Д.Р. Хохлов</b> Photoconductivity of PbTe(In) films induced by heat radiation and THz-laser pulses <b>V.I. Chernichkin, L.I. Ryabova, A.A. Dobrovolsky, V.A. Kasiyan, Z.M. Dashevsky, S.D. Ganichev, V.V. Bel'kov, D.R. Khokhlov . . . . .</b>	249
NM-30 Вычисление коэффициента поглощения в случае невырожденного электронного газа вnanoструктурах <b>Р.Г. Абасзаде</b> The absorption coefficient calculation in the case of nondegenerate electron gas in nanostructures <b>R.G. Abaszade . . . . .</b>	251
NM-31 Получение наночастиц сульфида кадмия на подложки пористого-Si <b>М.А. Джаяров, Э.Ф. Насиров, С.А. Джакангирова</b> Preparation of cadmium sulfide nanoparticles on the substrate of porous-Si <b>M.F. Jafarov, E.F. Nasirov, S.A. Jahangirova . . . . .</b>	252
NM-32 Оптические свойства нанокристаллических включений в аморфной матрице кремния, сформированных непрерывным лазерным отжигом <b>А.Ю. Афанаскин, А.В. Ершов, А.И. Машин, А.В. Нежданов</b> Optical properties of nanocrystalline inclusions in the amorphous silicon matrix formed by continuous-wave laser annealing <b>A.Y. Afanaskin, A.V. Ershov, A.I. Mashin, A.V. Nezhdanov . . . . .</b>	254
NM-33 Эффект резистивного переключения в полимерных материалах и энергонезависимая память на его основе <b>М.С. Котова, М.А. Дронов, И.А. Белогорохов</b>	254

The resistive switching effect in polymer materials and nonvolatile memory based on this effect <i>M.S. Kotova, M.A. Dronov, I.A. Belgorokhov</i>	256
NM-34 Влияние низких температур, высоких давлений и магнитных полей на свойства AgFeAsSe <sub>3</sub> <i>О.Л. Хейфец, Л.Л. Нугаева, А.В. Тебеньков, А.С. Волегов, Э.Ф. Шакиров, Н.В. Мельникова, Г.В. Бабушкина, К.С. Пинигина, А.Л. Филиппов</i>	256
The influence of low temperatures, high pressures and magnetic fields on the properties AgFeAsSe <sub>3</sub> <i>O.L. Kheifets, L.L. Nugaeva, A.V. Tebenkov, A.S. Volegov, E.F. Shakirov, N.V. Melnikova, G.V. Babushkina, K.S. Pinigina, A.L. Filippov</i>	258
NM-35 Сопротивление (PbSe) <sub>0.7</sub> (AgAsSe <sub>2</sub> ) <sub>0.3</sub> при высоких давлениях и в магнитных полях <i>О.Л. Хейфец, А.В. Тебеньков, Н.В. Мельникова, А.Н. Бабушкин, Э.Ф. Шакиров, А.Л. Филиппов</i>	260
Resistance of (PbSe) <sub>0.7</sub> (AgAsSe <sub>2</sub> ) <sub>0.3</sub> at high pressures and magnetic fields <i>O.L. Kheifets, A.V. Tebenkov, N.V. Melnikova, A.N. Babushkin, E.F. Shakirov, A.L. Filippov</i>	260
NM-36 Сравнительные исследования проводимости и магнетосопротивления графита и графена MSG-75 при давлениях до 35 ГПа <i>Г.В. Тихомирова, А.В. Тебеньков, Д.Н. Соколовский, Я.Ю. Волкова</i>	262
Comparative investigations of conductivity and magnetoresistance of graphite and graphene MSG-75 at pressure up to 35 GPa <i>G.V. Tikhomirova, A.V. Tebenkov, D.N. Sokolovsky, Ya.Yu. Volkova</i>	262
NM-37 Полупроводниковые материалы в интерференционных фильтрах для извещателей пламени <i>И.В. Заводько, В.А. Иванов</i>	264
Semiconductive materials in interferential filters for flame detectors <i>I.V. Zavodko., V.A. Ivanov</i>	264
<b>Авторский указатель</b>	<b>266</b>